

УДК 544.7

К РЕОЛОГИИ ТИКСОТРОПНЫХ И РЕОПЕКСНЫХ СУСПЕНЗИЙ

© 2023 г. А. И. Левинский*

Seevering 62, Neu Wulmstorf, 21629 Germany

*e-mail: Dr.Levinsky@yandex.com

Поступила в редакцию 06.07.2023 г.

После доработки 27.07.2023 г.

Принята к публикации 28.07.2023 г.

Выведены полуэмпирические уравнения, описывающие зависимость сдвигового напряжения от скорости сдвига при течении однокомпонентной суспензии. Суспензия рассматривается как состоящая из двух фракций: одиночных зерен твердой фазы и их димеров, между которыми протекает обратимая реакция димеризации. При этом димеризация одиночных зерен рассматривается как реакция с постоянной константой скорости, а диссоциация димеров – как обратная реакция с константой скорости, линейно возрастающей со скоростью сдвига. Уравнения основаны на формуле Кригера–Догерти, обобщенной на случай многокомпонентной суспензии.

Ключевые слова: реология, суспензии, кривые течения, тиксотропия, реопексия

DOI: 10.31857/S0023291223600591, **EDN:** HDYLEZ

ВВЕДЕНИЕ

В предыдущей работе [1] были выведены уравнения, описывающие зависимость сдвигового напряжения от скорости сдвига при течении концентрированных суспензий. Уравнения были основаны на формуле Кригера–Догерти [2, 3], обобщенной в нашей работе [4] на случай многокомпонентных суспензий:

$$\eta = \eta_0 \left(1 - \frac{\Phi}{\Phi_0}\right)^{[\bar{\eta}]\bar{\Phi}_0}. \quad (1)$$

Здесь $[\bar{\eta}]$ и $\bar{\Phi}_0$ – значения параметров, усредненных по всем твердым компонентам:

$$\begin{cases} [\bar{\eta}] = \frac{\sum [\eta_i] \phi_i}{\phi}, \\ \bar{\Phi}_0 = \frac{\phi}{\sum \phi_i / \Phi_{0,i}}, \end{cases} \quad (2)$$

где ϕ – суммарная объемная доля диспергированной фазы, $[\eta_i]$ – характеристическая вязкость i -того компонента, ϕ_i и $\Phi_{0,i}$ – объемная доля и предельная концентрация i -того компонента соответственно.

В работе [1] было показано, что обобщенную формулу Кригера (1–2) можно использовать для описания зависимости сдвигового напряжения τ от скорости сдвига $\dot{\gamma}$, если принять следующие предположения:

1) Однокомпонентную суспензию (т.е. дисперсию одного твердого вещества в жидкости)

можно рассматривать как систему, состоящую из двух фракций: одиночных зерен (“синглетов”) твердой фазы и их димеров (“дуплетов”), причем одиночным зернам и их димерам соответствуют различные значения параметров $[\eta]$ и Φ_0 ;

2) Димеризацию синглетов можно рассматривать как реакцию с постоянной константой скорости k_1 , а диссоциацию дуплетов – как реакцию с константой скорости k , линейно возрастающей со скоростью сдвига $\dot{\gamma}$: $k = k_2 + k_3\dot{\gamma}$. Здесь k_2 – константа скорости диссоциации в отсутствие течения, k_3 – скорость изменения константы скорости при росте скорости сдвига.

Было показано, что выведенные уравнения хорошо описывают течение как псевдопластичных, так и дилатантных суспензий. Однако в работе [1] предполагалось, что равновесие между синглетами и дуплетами устанавливается мгновенно.

Настоящая работа является продолжением и дальнейшим развитием подхода, изложенного в работе [1], и его обобщением на неравновесный случай, когда достижение равновесия отстает от изменения скорости сдвига (т.е. имеют место релаксационные эффекты – тиксотропия или реопексия).

ТЕОРИЯ РАСЧЕТОВ

Итак, рассмотрим суспензию как систему, твердая фаза которой состоит из двух фракций:

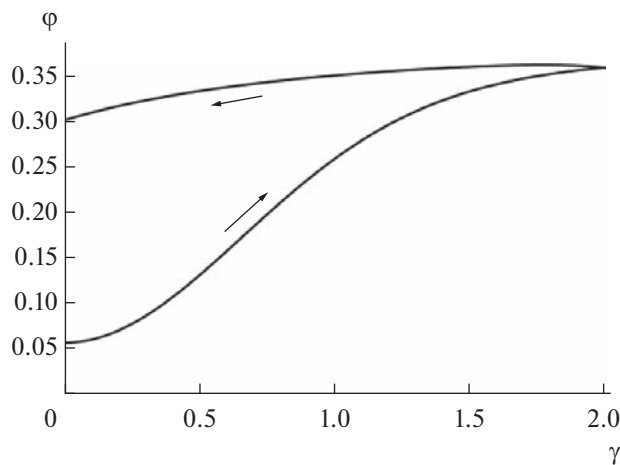


Рис. 1. Зависимость объемной доли синглетов от скорости сдвига. Значения параметров: $k_1 = 10$; $k_2 = 0.1$; $k_3 = 10$; $\phi_0 = 0.4$.

синглетов (обозначим их объемную долю как ϕ_1) и дуплетов (объемная доля ϕ_2).

Из-за теплового движения синглеты (обозначим их число в единице объема супензии как n_1) сталкиваются друг с другом, после чего могут удерживаться вместе силами когезии, образуя дуплеты (их число в единице объема супензии n_2). Под действием теплового движения дуплеты могут снова распадаться на синглеты, т.е. имеет место обратимая реакция $2n_1 \rightleftharpoons n_2$. Приложение сдвигового напряжения, очевидно, должно способствовать распаду дуплетов, т.е. ускорять обратную реакцию.

Пусть в единице объема супензии находится n_0 зерен твердой фазы, и пусть средний объем зерен равен v . Тогда объемная доля твердой фазы равна $\phi_0 = n_0 v$. При заданной скорости сдвига $\dot{\gamma}$ между синглетами и дуплетами с некоторой скоростью устанавливается равновесие: $2n_1 \rightleftharpoons n_2$ и $n_1 + 2n_2 = n_0$. Умножая левую и правую часть последнего равенства на v , получим

$$\phi_1 + \phi_2 = \phi_0. \quad (3)$$

Пусть константа скорости димеризации k_1 постоянна, а константа скорости обратной реакции k линейно зависит от скорости сдвига $\dot{\gamma}$, которая, в свою очередь, является некоторой функцией времени: $k = k_2 + k_3 \dot{\gamma}(t)$. В дальнейшем будем считать, что $\dot{\gamma}$ изменяется со временем линейно (что обычно реализуется на практике в ротационных вискозиметрах). Таким образом, кинетика реакции описывается дифференциальным уравнением

$$\frac{d\phi_1}{dt} = -k_1 \phi_1^2 + (k_2 + k_3 \dot{\gamma}) \phi_2. \quad (4)$$

Подставляя равенство (3) в уравнение (4), получим:

$$\frac{d\phi_1}{dt} = (k_2 + k_3 \dot{\gamma})(\phi_0 - \phi_1) - k_1 \phi_1^2. \quad (5)$$

В качестве начальных условий выберем концентрацию синглетов ϕ_1^{init} при равновесии, которое устанавливается в отсутствие течения, т.е. при $\dot{\gamma} = 0$ и $\frac{d\phi_1}{dt} = 0$. Тогда $k_2(\phi_0 - \phi_1) - k_1 \phi_1^2 = 0$, откуда

$$\phi_1^{\text{init}} = \frac{\sqrt{k_2^2 + 4k_1 k_2 \phi_0} - k_2}{2k_1}. \quad (6)$$

Уравнение (5) — это хорошо известное уравнение Риккати, которое в общем случае не интегрируется в квадратурах [5, 6]. Поэтому его решали численно классическим методом Рунге–Кутты четвертого порядка [7]. Результат численного решения будем обозначать как $\phi_1(t)$.

Формула Кригера–Догерти для двухкомпонентной супензии согласно (1) и (2) имеет вид:

$$\tau = \tau_0 + \eta_0 \dot{\gamma} \left(1 - \frac{\phi_1}{\phi_{10}} - \frac{\phi_2}{\phi_{20}} \right)^{\frac{[\eta_1]\phi_1 + [\eta_2]\phi_2}{\phi_1/\phi_{10} + \phi_2/\phi_{20}}}, \quad (7)$$

где τ — напряжение сдвига, τ_0 — предел текучести, η_0 — вязкость дисперсионной среды, $\dot{\gamma}$ — скорость сдвига, ϕ_1 — объемная доля синглетов (результат численного решения уравнения (5)), ϕ_2 — объемная доля дуплетов (в соответствии с (3) $\phi_2 = \phi_0 - \phi_1$), ϕ_{10} и ϕ_{20} — соответствующие предельные концентрации, $[\eta_1]$ и $[\eta_2]$ — соответствующие характеристические вязкости.

Имея численное решение $\phi_1(t)$ дифференциального уравнения (5), можно вычислить сдвиговое напряжение, используя формулу (7). Результаты вычислений зависят, таким образом, от 7 параметров: констант скорости k_1 , k_2 и k_3 , предельных концентраций ϕ_{10} и ϕ_{20} , а также характеристических вязкостей $[\eta_1]$ и $[\eta_2]$.

РЕЗУЛЬТАТЫ И ОБСУЖДЕНИЕ

Исследование параметрической чувствительности выведенных уравнений показало, что уравнения способны описывать как тиксотропное, так и реопексное поведение супензий (рис. 1–6).

Из рис. 1 видно, что при увеличении скорости сдвига (“прямой ход”) концентрация синглетов растет (т.е. течение супензии разрушает дуплеты), а при уменьшении скорости сдвига (“обратный ход”) их концентрация восстанавливается благодаря протеканию реакции димеризации, причем из-за конечной скорости реакций имеет место отставание изменения концентрации от измене-

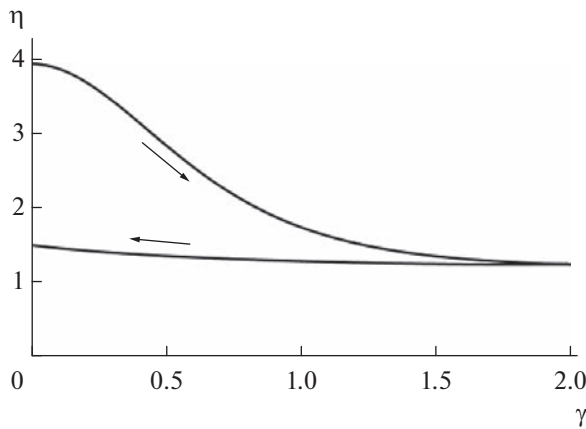


Рис. 2. Тиксотропия: зависимость вязкости от скорости сдвига. Константы скорости те же, что и на рис. 1; значения остальных параметров: $\phi_{10} = 0.5$; $\phi_{20} = 0.45$; $\tau_0 = 0$; $\eta_0 = 0.1$; $[\eta_1] = 3$; $[\eta_2] = 4$.

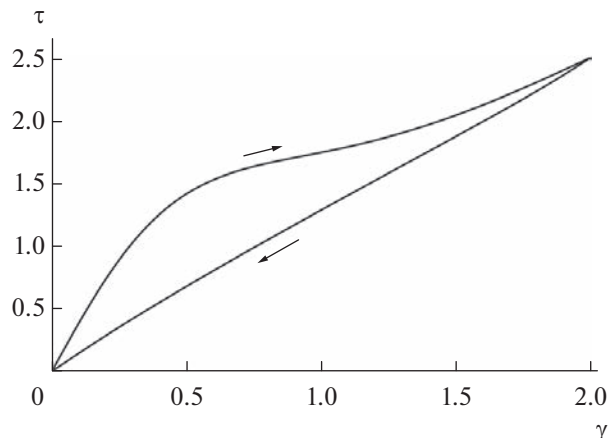


Рис. 3. Тиксотропия: зависимость напряжения сдвига от сдвиговой скорости. Значения параметров те же, что и на предыдущих рисунках.

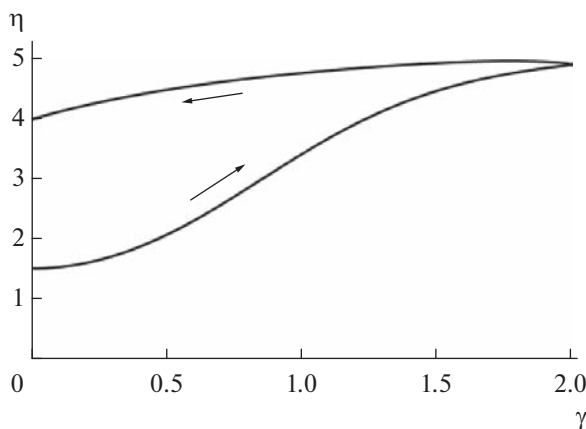


Рис. 4. Реопексия: зависимость вязкости от скорости сдвига. Значения параметров: $[\eta_1] = 5$, $[\eta_2] = 2.5$; остальные параметры имеют прежние значения.

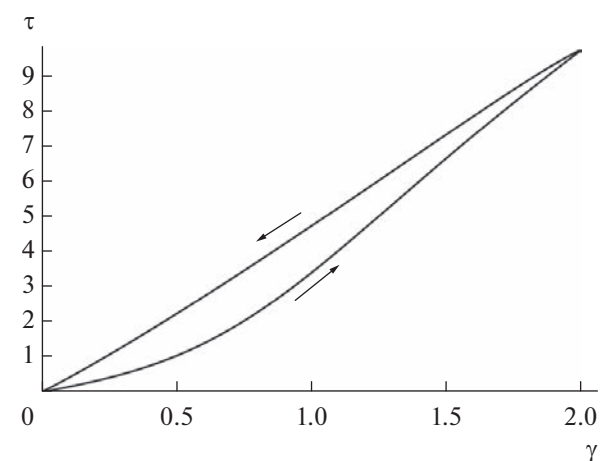


Рис. 5. Реопексия: зависимость сдвигового напряжения от скорости сдвига. Значения параметров те же.

ния скорости сдвига, что приводит к гистерезису концентрации и, как следствие, к гистерезису вязкости и напряжения сдвига.

На рис. 2 представлена зависимость вязкости от скорости сдвига при тех же значениях констант скорости, что и на рис. 1, а значения остальных параметров (предельные концентрации и характеристические вязкости) были выбраны таким образом, чтобы вязкость уменьшалась с ростом скорости сдвига, т.е. чтобы супензия демонстрировала псевдопластичное поведение. При этом можно видеть, что конечность скоростей реакций приводит к тому, что восстановление вязкости происходит с отставанием, и вязкость при снижении $\dot{\gamma}$ остается меньше вязкости при росте $\dot{\gamma}$ (т.е. супензия тиксотропна).

Такое поведение вязкости можно объяснить тем, что дуплеты дают больший вклад в вязкость супензии, чем синглеты, поэтому разрушение дуплетов приводит к снижению вязкости, а задержка приводит к тому, что за время эксперимента вязкость не успевает восстановиться. Таким образом, псевдопластичные супензии при наличии релаксационных эффектов демонстрируют тиксотропное поведение, что видно также из рис. 3.

На рис. 4 и 5 показаны аналогичные результаты для случая дилатансии и реопексии. Легко видеть, что в этом случае дуплеты дают меньший вклад в вязкость супензии, и их разрушение приводит к росту вязкости, т.е. супензия дилатантна, а конечность скоростей реакций приводит к тому, что за время эксперимента при уменьшении скоро-

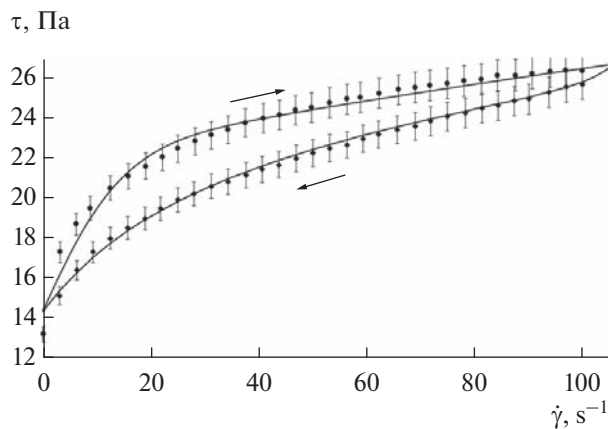


Рис. 6. Зависимость напряжения сдвига от скорости сдвига для водной суспензии наноалмазов по данным [8]. Значения параметров: $k_1 \approx 56.81$, $k_2 \approx 2.287$, $k_3 \approx 1.035$, $\phi_0 \approx 0.370$, $\phi_{10} \approx 0.582$, $\phi_{20} \approx 0.358$, $\tau_0 \approx 14.4$, $\eta_0 \approx 0.0492 \text{ Па с}$, $[\eta_1] \approx 2.948 \text{ Па с}$, $[\eta_2] \approx 5.370 \text{ Па с}$. Среднеквадратичное отклонение кривых от точек составляет 0.3 Па (1.3% от среднего значения напряжения сдвига). Индикатор ошибок показывает разброс в 3%.

сти сдвига вязкость не успевает снизиться до прежнего значения, и суспензия демонстрирует реопексное поведение. Таким образом, дилатантные суспензии при наличии релаксационных эффектов становятся реопексными.

При высоких скоростях димеризации и распада димеров выведенные уравнения вырождаются в предельный случай мгновенного установления равновесия. Этот предельный случай описан в предыдущей работе [1], где показано, что уравнения хорошо описывают псевдопластичность и/или дилатансию (в зависимости от соотношения параметров ϕ_{10} , ϕ_{20} , $[\eta_1]$ и $[\eta_2]$).

Для экспериментальной верификации выведенных уравнений были использованы данные, опубликованные в литературе [8–10]. Результаты сопоставления теории с экспериментом показаны на следующих рисунках.

На рис. 6 показана зависимость напряжения сдвига от скорости сдвига для водной суспензии наноалмазов по данным [8]. Точки представляют эксперимент, сплошные кривые – расчет по выведенным уравнениям. Легко видеть, что выведенные уравнения находятся в хорошем согласии с экспериментом, причем параметры уравнений принимают реалистичные значения. Расчетные зависимости объемной доли синглетов, а также вязкости от скорости сдвига, соответствующие результатам, представленным на рис. 6, показаны на рис. 7 и 8 соответ-

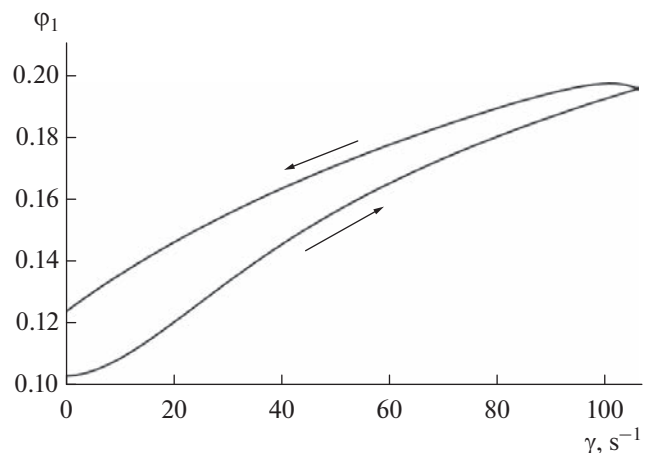


Рис. 7. Водная суспензия наноалмазов. Расчетная зависимость объемной доли синглетов от скорости сдвига.

ветственно. Легко видеть, что суспензия псевдопластична и, как и следовало ожидать, наличие релаксационного эффекта приводит к тиксотропии.

Однако в литературе [9, 10] имеются также экспериментальные данные, согласно которым псевдопластичная суспензия демонстрирует реопексный характер [9], (зависимость сдвигового напряжения от скорости сдвига для такой суспензии по данным [9] показана на рис. 9), а также суспензии с переменным характером течения [10] (т.е. при одних скоростях сдвига наблюдается тиксотропия, а при других – реопексия). Эти данные представлены на рис. 10.

Как оказалось, выведенные уравнения не описывают эти результаты. Дело в том, что эти уравнения предсказывают следующее поведение:

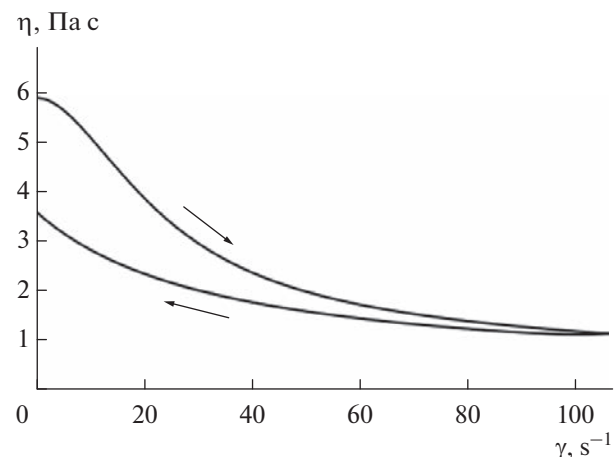


Рис. 8. Водная суспензия наноалмазов. Расчетная зависимость вязкости от скорости сдвига.

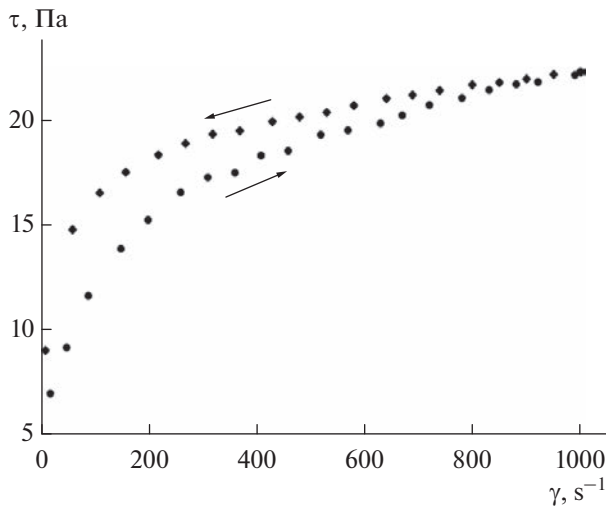


Рис. 9. Водная суспензия палигорскита. Зависимость сдвигового напряжения от скорости сдвига по данным [9].

Выпуклая зависимость $\tau(\dot{\gamma})$, представленная на рис. 9, означает убывание вязкости при прямом ходе, т.е. псевдопластичность. При последующем обратном ходе вязкость должна восстанавливаться (возрастать) с запаздыванием, т.е. кривая $\tau(\dot{\gamma})$ для обратного хода должна была бы лежать ниже кривой $\tau(\dot{\gamma})$ для прямого хода, что противоречит экспериментальным данным на рис. 9.

Данные на рис. 10 представляют систему с переменным характером течения: при прямом ходе зависимость $\tau(\dot{\gamma})$ сначала вогнута (дилатансия), затем выпукла (псевдопластичность); то же и при обратном ходе. Как было показано в предыдущих работах [1, 11], для описания переменного характера течения необходимо учитывать образование тримеров. Поэтому естественно предположить, что учет образования тримеров вместе с учетом конечности скорости реакций позволит описать также и данные, представленные как на рис. 10, так и на рис. 9. Исследованию этой возможности будет посвящена следующая работа.

ВЫВОДЫ

1. Однокомпонентную суспензию можно рассматривать как систему, состоящую из двух фракций: одиночных зерен и их димеров, между которыми с определенной конечной скоростью устанавливается равновесие, зависящее от скорости сдвига. Эта модель единообразно и естественным образом описывает 4 типа реологического поведения суспензий: псевдопластичность, дилатанию, тиксотропию и реопексию.

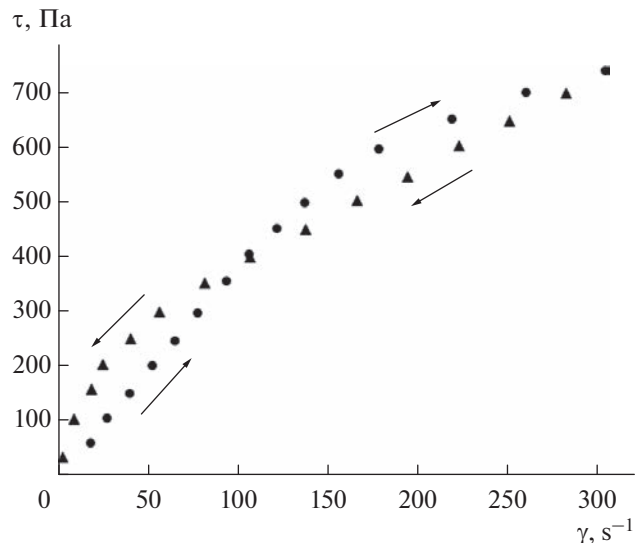


Рис. 10. Полимерная суспензия, наполненная керамическими наночастицами. Зависимость сдвигового напряжения от скорости сдвига по данным [10].

2. Приложение сдвигового напряжения приводит во всех случаях к разрушению димеров и сдвигу равновесия в сторону одиночных зерен.

3. Тип реологического поведения суспензии зависит от соотношения четырех параметров: предельных концентраций компонентов Φ_{10} и Φ_{20} , их характеристических вязкостей $[\eta_1]$ и $[\eta_2]$, а также от времени достижения равновесия. Если это время мало по сравнению со временем эксперимента, уравнения вырождаются в предельный (равновесный) случай и описывают псевдопластичность и/или дилатансию. Если же это время сравнимо со временем эксперимента, проявляются релаксационные эффекты – тиксотропия и/или реопексия.

ФИНАНСИРОВАНИЕ РАБОТЫ

Работа выполнена без какой-либо финансовой поддержки.

КОНФЛИКТ ИНТЕРЕСОВ

Автор заявляет, что у него нет конфликта интересов.

СПИСОК ЛИТЕРАТУРЫ

- Левинский А.И. Зависимость напряжения сдвига от скорости сдвига при течении структурированных суспензий // Журнал физической химии. 2021. Т. 95 № 7. С. 1491–1494.
<https://doi.org/10.31857/S0044453721070165>
- Krieger I.M. Flow properties of latex and concentrated solutions. In: Surfaces and Coatings Related to Paper and Wood. A Symposium, State University College of

- Forestry at Syracuse University. Syracuse University Press, 1967. P. 25–51.
3. Орлов Е.В. Сдвиговая вязкость супензий твердых сферических частиц // Физика аэродисперсных систем. 2020. № 58. С. 51–59.
 4. Левинский А.И. Вязкость супензий: формула Кригера–Догерти и эффект Фарриса // Известия ВУЗов. Химия и химическая технология. 2005. Т. 48. № 12. С. 22–25.
 5. Камке Э. Справочник по обыкновенным дифференциальным уравнениям. М.: Наука, Главная редакция физико-математической литературы, 1971.
 6. Зайцев В.Ф., Полянин А.Д. Справочник по обыкновенным дифференциальным уравнениям. М.: Издательская фирма “Физико-математическая литература”, 2001.
 7. Ортега Дж., Пул У. Введение в численные методы решения дифференциальных уравнений. М.: Hayka, 1986.
 8. Кузнецов Н.М. Влияние формы неорганических нанонаполнителей на электрореологическое поведение полимерных жидкостей // Дис. ... канд. физ.-мат. наук. Национальный исследовательский центр “Курчатовский институт”, 2018.
 9. Neuman A., Singer A. Rheological properties of aqueous suspensions of palygorskite // Soil Science of America Journal. 2000. V. 64. № 1. P. 427–436. <https://doi.org/10.2136/sssaj2000.641427x>
 10. Umerova S., Ragulya A. Coexistence of rheopexy and dilatancy in polymer suspensions filled with ceramic nanoparticles // Rheol: Open Access. 2017. V. 1. № 2. P. e102.
 11. Levinsky A.I. Shear stresses during the flow of structured suspensions: Accounting for the formation of trimers // Journal of Material Sciences & Engineering. Short Communication. 2022. V. 11. P. 3.